

مطالعه مورفولوژی فیلم اکسید تشکیل شده در شرایط ریخته گری آلیاژهای منیزیم (AZ91)

علی رضا میرک^۱، مهدی دیواندری^{۲*} و سید محمد علی بوترابی^۳

(تاریخ دریافت ۱۱/۱۷/۸۵، تاریخ دریافت روایت اصلاح شده ۱۳/۵/۸۶، تاریخ تصویب ۷/۷/۸۶)

چکیده

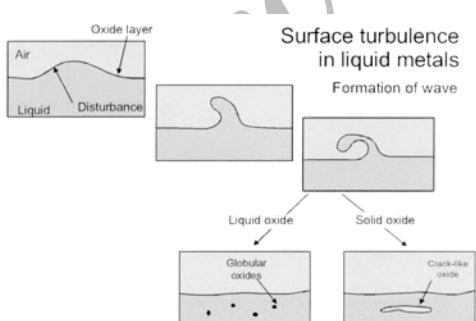
AZ91

AZ91

()

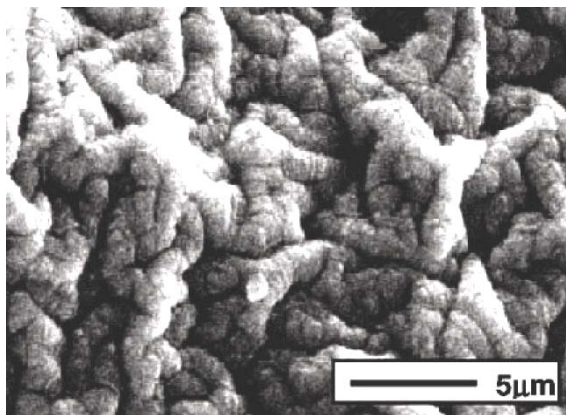
واژه های کلیدی: آلیاژ منیزیم AZ91 - فیلم اکسید جدید - لایه ساندویچ اکسید فلز اکسید - مورفولوژی

مقدمه



شکل ۱: تشکیل لایه های اکسیدی جدید و ورود لایه های سطحی به درون مذاب بر اثر تلاطم سطحی [۴].

() []

⁰CAir/ 0.3% SF₆

شکل ۳: تصویر میکروسکوپ الکترونی از مورفولوژی فیلم سطحی آلیاژ منیزیم در ۷۰۰ °C و در یک زمان طولانی [۲۱].

[]

Fuoco []

MgAl₂O₄Al₂O₃SF₆ SO₂

[]

Petterson

NF₃

[]

Zeng

Al-5Mg Al-7SiMg

[]

SEM ()

Al-

-

Al-7SiMg

Al-5Mg

7SiMg

Coshion

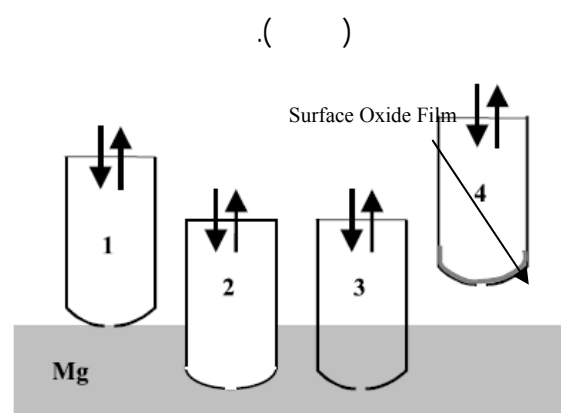
SF₆

AZ91

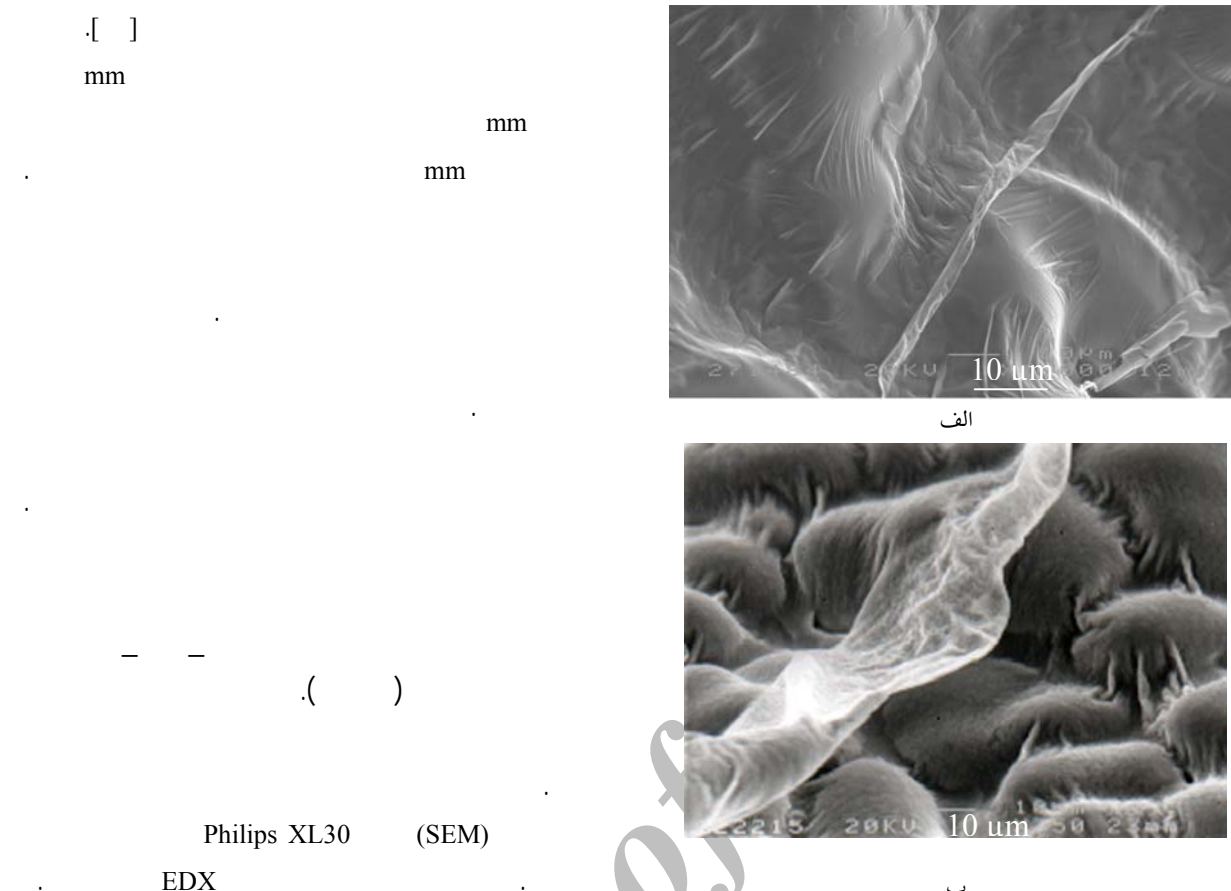
°C

MgF₂ MgOSF₆

MgO

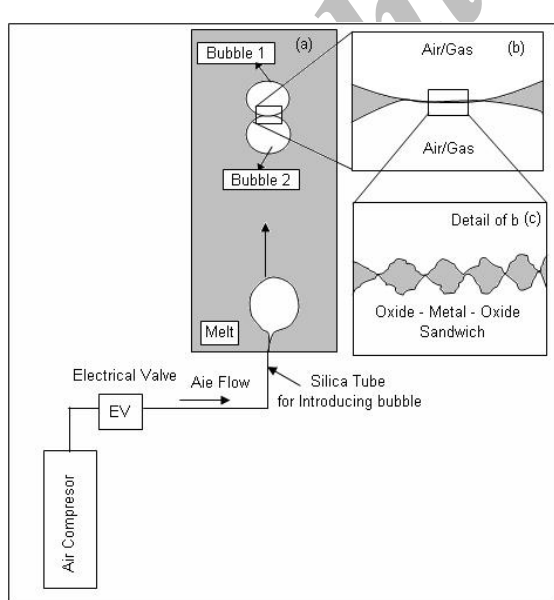
MgO MgF₂

شکل ۲: شماتیک تهیه فیلم سطحی در مدت زمان طولانی [۱۷].



جدول ۱: ترکیب شیمیابی آلیاز AZ91C

AZ91	Al	Mn	Zn	Mg
Composition	8.7	0.5	0.9	Base



شکل ۵: تصویر شماتیک تهیه نمونه ساندویچ اکسید_فلز_اکسید.

شکل ۴: تصویر SE از مورفولوژی فیلم اکسید آلیاژهای (الف)

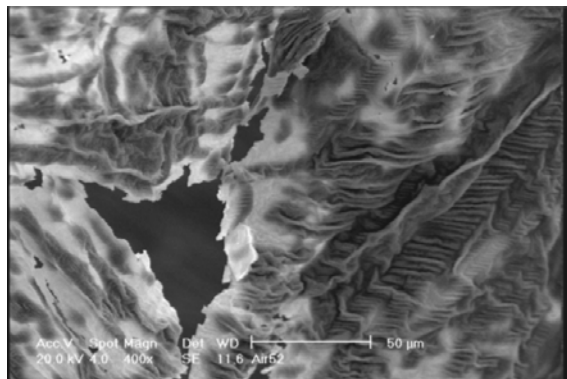
[۱۵، ۱۶] Al_5Mg و ب(Al_7Si_Mg).

روش تحقیق
AZ91
()

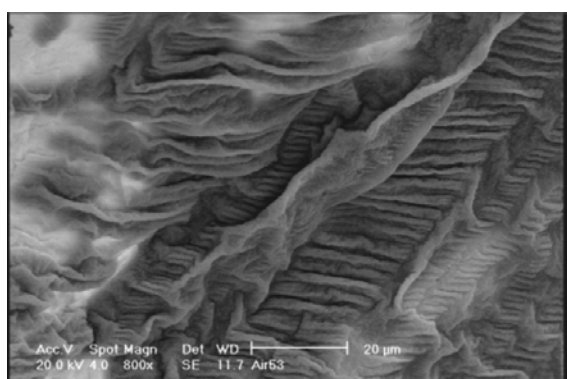
SO₂
± °C

نتایج آزمایش

SEM (-)
)
 (- C

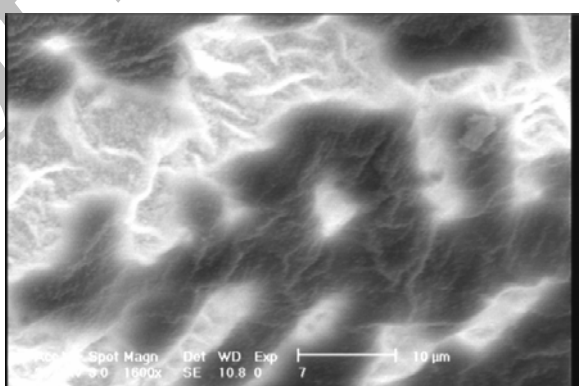
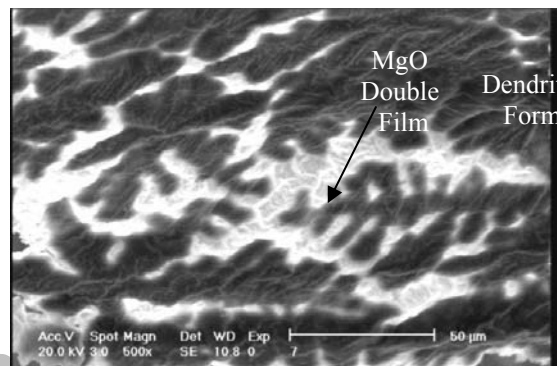


الف



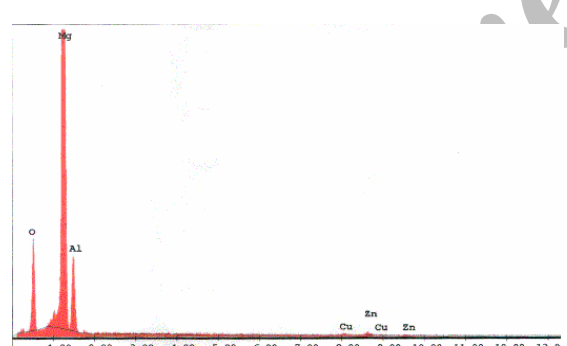
ب

شکل ۷: تصویر SE از لایه ساندوبیچی شامل مورفولوژی چین خوردگ.



ب

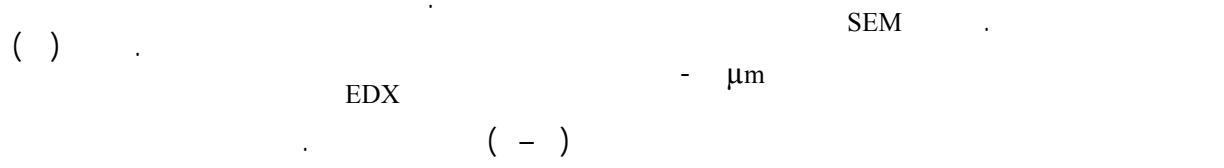
شکل ۶: تصویر SE از لایه ساندوبیچ اکسید-فلز-اکسید آلیاژ منیزیم.



شکل ۸: تصویر آنالیز EDX از فیلم اکسید منیزیم.

SEM ()

EDX ()



بحث و تحلیل

$(\Delta G = - \quad \text{Kcal/mol} \quad 1000^\circ)$

$(\Delta G = - \quad \text{Kcal/mol} \quad 1000^\circ \text{ K})$

[]

[]

()

()

()

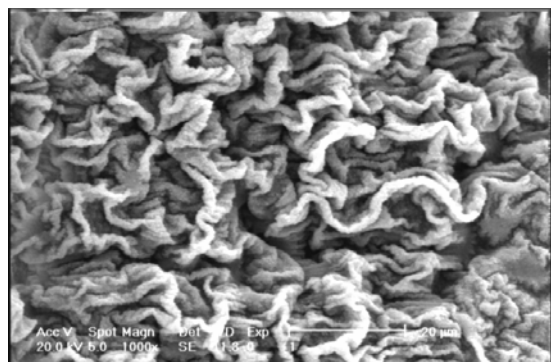
nm

[-]

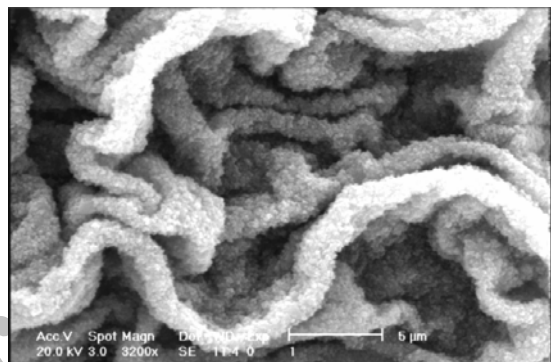
Al-7Si-

() [] Al-5Mg Mg

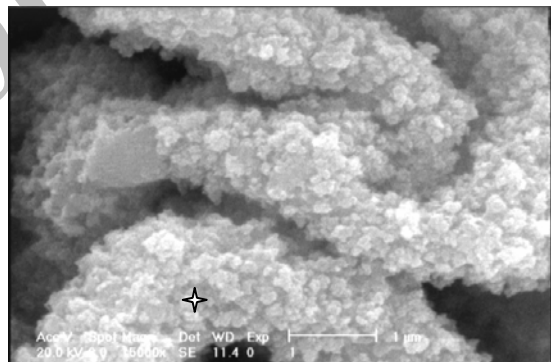
(AZ91)



الف

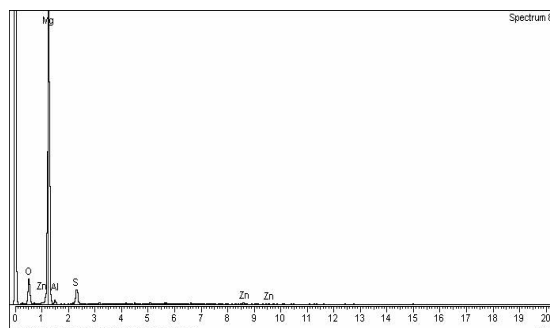


ب



ج

شکل ۹: تصاویر SE از فیلم اکسید ضخیم شده در بزرگنمایی های مختلف، (الف) مورفولوژی سطوح چین خورده و ناهموار فیلم، (ب) تصویر الف در بزرگنمایی بالاتر و (ج) تصویر سطح کریستاله شده فیلم.

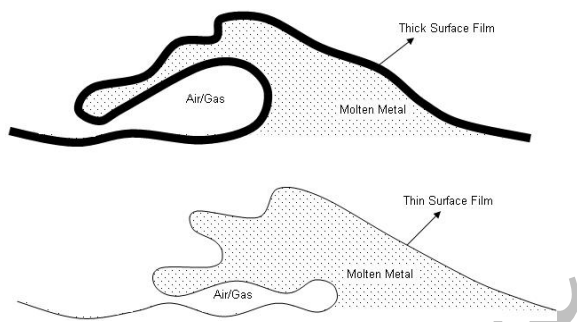


شکل ۱۰: آنالیز EDX از سطح فیلم اکسید منیزیم

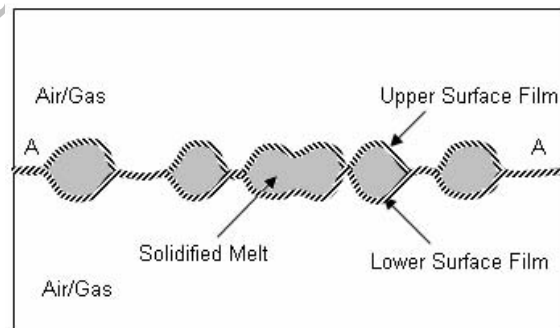
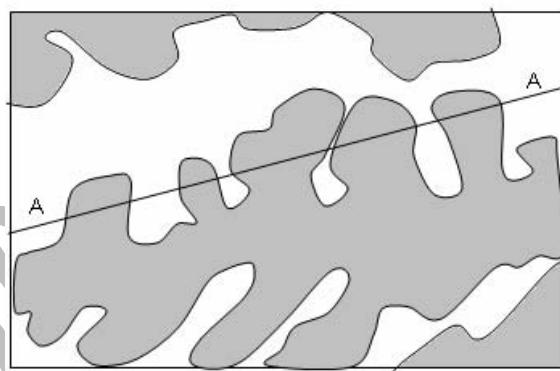
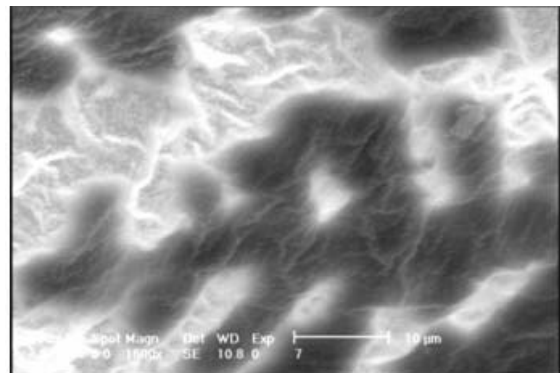
(ناحیه علامت زده شده در تصویر ج-۹).

[]

()



شکل ۱۲: شماتیک اثر خسارت فیلم در مقدار هوای محبوس شده در بین لایه های فیلم برای (الف) فیلم ضخیم و (ب) فیلم نازک.



شکل ۱۱: شماتیک تشکیل فیلم دوبل (نواحی سفید)، (الف) تصویر SE از لایه ساندویچ اکسید - فلز - اکسید آلیاژ منیزیم، (ب) شماتیک مورفولوژی نواحی تیره دندربیتی و فیلم دوبل اکسید منیزیم (ج) مقطع برش خورده از نوک دندربیت ها که با فیلم اکسید بالایی و پایینی پوشیده شده است.

جدول ۲: اندازه خسارت فیلم در آلیاژهای مختلف آلومینیم و منیزیم.

Alloy	Al-7Si-Mg	Al-5Mg	AZ91
Thickness (μm)	0.02 – 0.05	0.5 – 0.7	1-2

[]

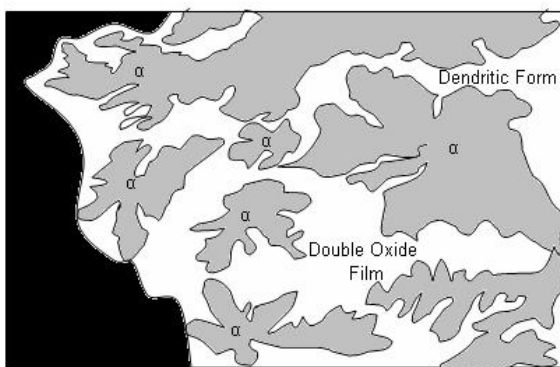
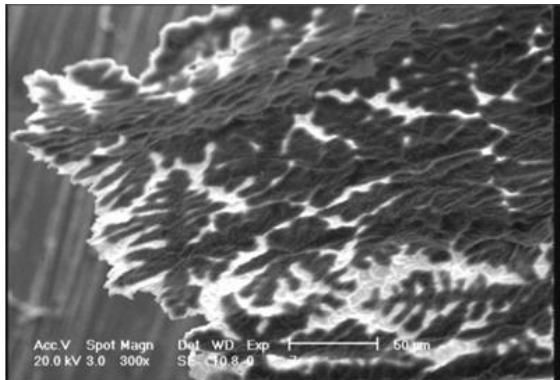
()

"

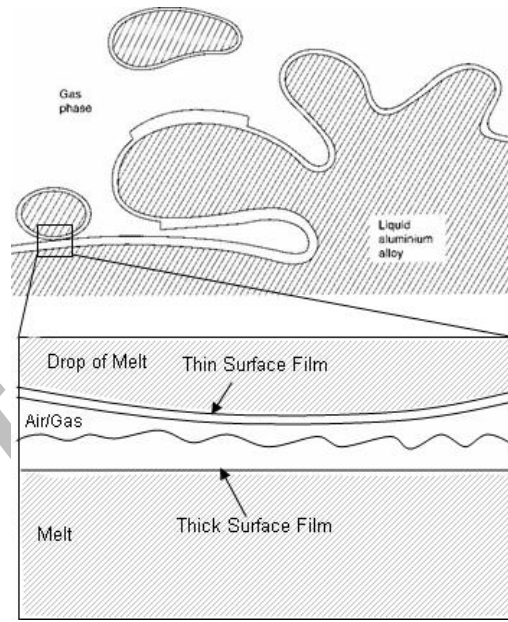
[]

 $\alpha - \text{Mg}$

() .()



شکل ۱۴- (الف) لایه نازک ساندویچ اکسید منیزیم شامل تعداد زیادی از جوانه های اولیه $\alpha - \text{Mg}$ و شبکه دندریتی که در اطراف جوانه ها رشد کرده است.
ب) شماتیک مورفولوژی و توزیع جوانه های اولیه منیزیم را نشان می دهد.



شکل ۱۳: شماتیک رویه های متفاوت در هنگام تلاطم سطحی مورفولوژی های متفاوت با

مورفولوژی های متفاوت در هنگام تلاطم سطحی.

نتیجه گیری

مراجع

- 1 - Alves, H., Ko"ster, U. and Eliezer, D. in E. Aghion and D. Eliezer (eds.) (2000). *Proc. 2nd Israeli Int. Conf. on Magnesium Science & Technology, MRI*, Beer-Sheva, PP. 347–355.
- 2 - Runyoro, J., Boutorabi, S. M. and Campbell, J. (1992). *AFS Trans.*, Vol. 100, PP.225–234.
- 3 - Campbell, J. (2003). *Casting*, Oxford, Butterworth-Heinemann.
- 4 - Campbell, J. (1994). *The Filling of Casting*, TALAT Lecture 3203.
- 5 - Nyahamwa, C., Green, N. R. and Campbell, J. (1998). *AFS Trans.*, Vol. 106, PP.215-223.
- 6 - Caceres, C. H. and Selling, B. I. (1996). "Casting defects and the tensile properties of an Al-Si-Mg alloy." *Mater. Sci. Eng.*, A 220, PP.109-116.
- 7 - Green, N. R. and Campbell, J. *Trans. AFS*, Vol. 102, PP.341-347.

- 8 - Impey, S., Stephenson, D. J. and Nicholls, J. R. (1988). *J. Mater. Sci. Tec.*, Vol. 4, PP.1126–1132.
- 9 - Kahl, W. and Fromm, E. (1985). *Metall. Trans. B*, Vol. 16B, PP.47–51.
- 10 - Rault, L., Allibert, M. and Dubus, A. (1996). *Mater. Sci. Forum*, Vol. 2, PP.165–170.
- 11 - Rault, L., Allibert, M. and Dubus, A. (1996). *Light Metals*, Vol. 2, PP.345–355.
- 12 - Roberge, J. L. and Richard, M. (1996). *Mater. Sci. Forum*, Vol. 3, PP.135–140.
- 13 - Rault, L., Allibert, M., Prin, M. and Dubus, A. (1996). *Light Metal*, PP.345 –35.
- 14 - Campbell, J. (2003). *Ten Rules in Casting*, Oxford, Butterworth, Heinemann.
- 15 - Divandari, M. and Campbell, J. (2005). *Int. J. of Cast Metals Research*, Vol. 18, No. 3, PP.187-192.
- 16 - Divandari, M. and Campbell, J. (2004). *Int. J. of Cast Metals Research*, PP.17, 1-6.
- 17 - Fuoco, R., Correa, E. R. and Escudero, L. S. (1999). *AFS Trans.* Vol. 85, PP.287-295.
- 18 - Peterson, G., Overlaid, E., Tranell, G., Fenstad, J. and Gjestlad, H. (2002). *Mat. Sci. and Eng*, A332 PP.285 – 294.
- 19 - Cashion, S. P., Ricketts, N. J. and Hayes, P. C. (2002). *J. of Light Metals*, Vol. 2, PP.37 – 42.
- 20 - Cashion, S. P., Ricketts, N. J., Hayes, P. C. (2002). *J. of Light Metals*, Vol. 2, PP.43 –47.
- 21 - Zeng, X., Wang, Q., Lu, Y., Zhu, Y., Ding, W., Zhu, Y., Zhai, C., Lu, C. and Xu, X. (2001). "Behavior of surface oxidation on molten Mg–9Al–0.5Zn–0.3Be alloy." *Materials Science and Engineering A301*, PP.154–161, 2001.
- 22 - Zeng, X., Wang, Q. , Lu, Y., Zhu, Y., Ding, W., Zhao, Y. (2001). "Influence of beryllium and rare earth addition on ignition – proof magnesium alloys." *J. of Materials Processing Technology*, Vol. 112, PP. 17-23, 2001.
- 23 - Fruehling, J. W. and Hanawalt, J. D. (1969). "Protective atmospheres for melting magnesium alloys." *Trans Am Foundry men's Soc*, Vol. 77, PP.159.
- 24 - Divandari, M. and Campbell, J. (2000). *Aluminum Trans.*, Vol. 2, PP.233 – 238.
- 25 - Gaskell, J. (1990). *Introduction in Thermodynamic of Metallurgy*.
- 26 - Brace, A. W. and Allen, F. A. (1957). *Magnesium Casting Technology*, Chapman & Hall Ltd.
- 27 - Mirak, A. R., Divandari, M. and Bourtorabi, S. M. A. (1386). PhD Thesis, the university of Science and Technology of Iran.